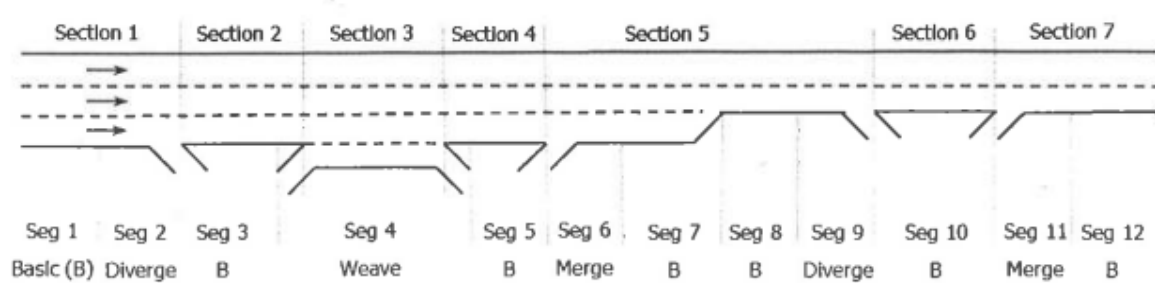


Procedimento do U.S.HCM/6thEd (2016)

⇒ **Sistemas Expressos:** método de análise capaz analisar condições de tráfego dinâmicas (sucessivos períodos de 15 minutos) de um trecho dividido em diversos segmentos, incluindo a formação e dissipação de filas decorrentes de sobre-demanda e incidentes (passou a incorporar a análise de regularidade/confiabilidade introduzida em 2015).

⇒ **Dados de campo:** períodos de 15 minutos, por seção, transformados em segmento.

Figura 10-9. Seções (Treichos) e Segmentos de Vias Expressas-HCM/6thEd (2016)



- . faixas de uso especial: sujeitas a restrições de uso (pouco usadas no Brasil mas há tendência crescente de uso; inclui faixas para veículos de alta ocupação, faixas para veículos comerciais ou transporte público, faixas pedagiadas, ...)
- . faixas de uso geral: as demais faixas (também acesso/egresso das especiais)

os dados e a análise distinguem os grupos de faixas (de uso geral e de uso especial) (para integração da análise deve-se ter segmentos paralelos, em cada grupo)

⇒ **Simulação:** para frente (operação não saturada) ou para trás (operação saturada).

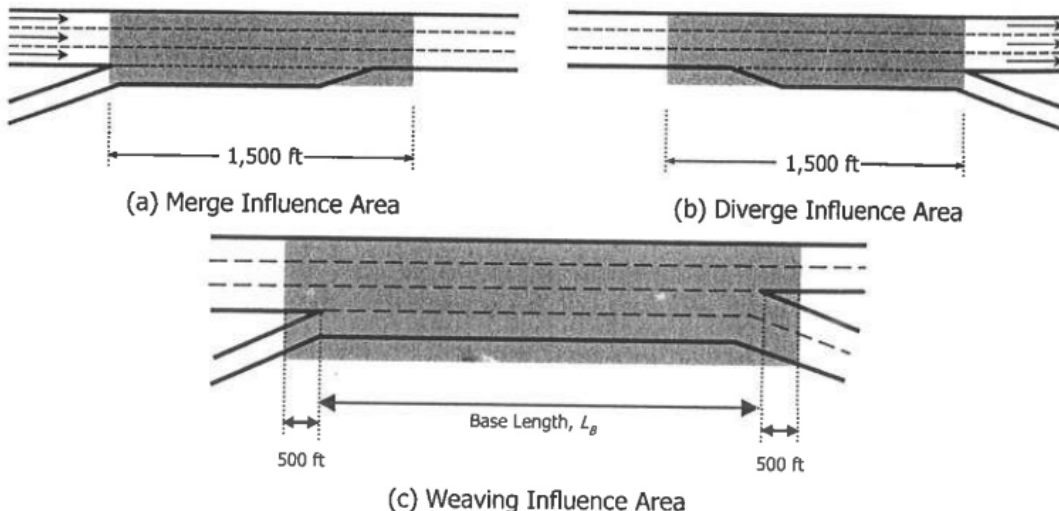
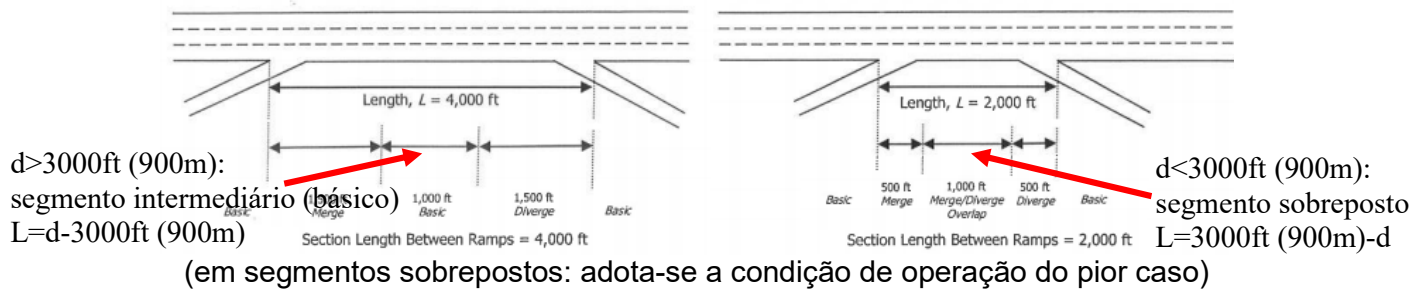
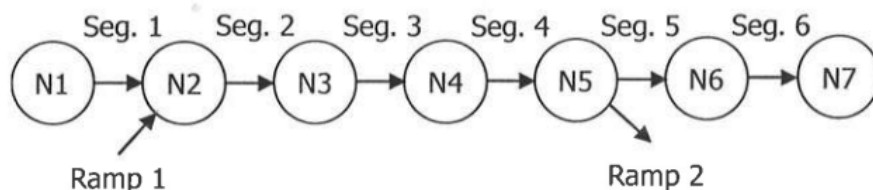
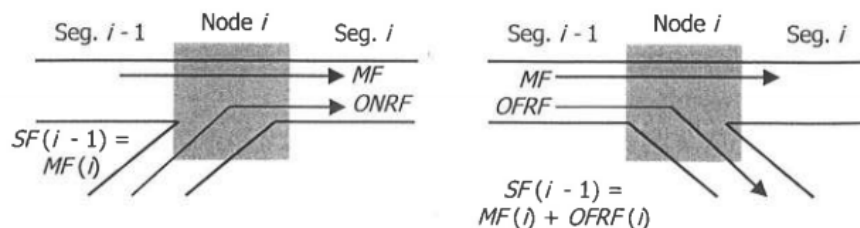
Figura 10-10. Domínio Espaço-Tempo em Sistemas Expressos-HCM/6thEd (2016)

Analysis Period	Seg 1	Seg 2	Seg 3	Seg 4	Seg 5	Seg 6	Seg 7	Seg 8	Seg 9	Seg 10	Seg 11	Seg 12
1												
2												
3												
4												
5												
6												
7												
8												

Note: Seg = segment.

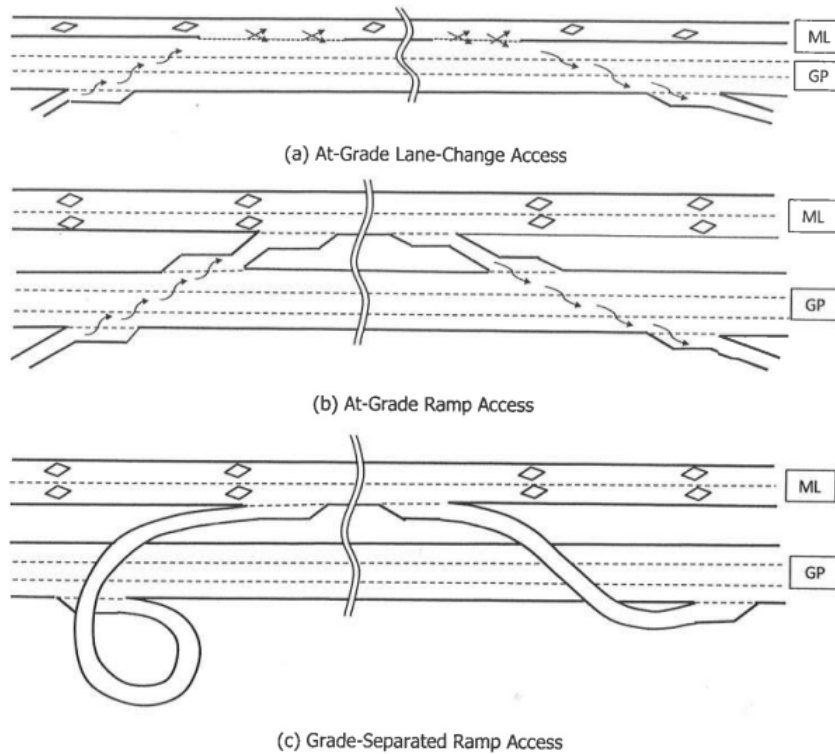
para operação não-saturada: análise por segmento (espaço,tempo)
velocidade e densidade por período (15min)

para operação saturada: refinamento nó-segmento, a partir do gargalo passo de tempo (em geral de 15 a 60 segundos).

Figura 10-1. Segmentos e Áreas de Influência em Vias Expressas-HCM/6thEd (2016)**Figura 10-11. Segmentos Sobrepostos em Vias Expressas-HCM/6thEd (2016)****Figura 10-13. Representação Nô-Segmento em Vias Expressas-HCM/6thEd (2016)****Figura 10-14. Fluxos Direto e de Entrada/Saída em Vias Expressas-HCM/6thEd (2016)**

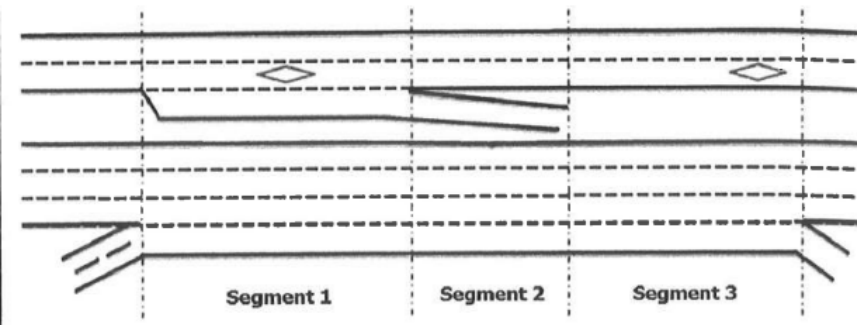
Note: SF = segment flow, MF = mainline flow, $ONRF$ = on-ramp flow, and $ORFF$ = off-ramp flow.

Figura 10-3. Acesso a Faixas de Uso Especial (*Managed Lanes*) em Vias Expressas-HCM/6thEd (2016)



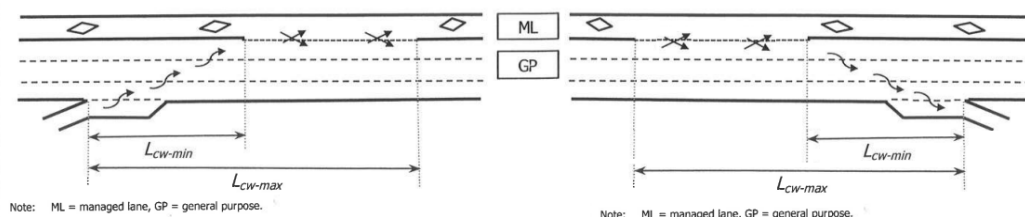
Notes: GP = general purpose, ML = managed lane.

Figura 10-18. Ajuste da Segmentação com Faixas de Uso Especial (*Managed Lanes*) em Vias Expressas-HCM/6thEd (2016)



(segmentação deve ser correspondente nas faixas de uso geral e especial)

Figura 10-19. Entrelaçamento Cruzado (Cross-Weave) no Acesso e Egresso a Faixas de Uso Especial (*Managed Lanes*) em Vias Expressas-HCM/6thEd (2016)



Note: ML = managed lane, GP = general purpose.

Note: ML = managed lane, GP = general purpose.

⇒ Procedimentos:

- definir a segmentação adequada (correspondente se há faixas de uso especial)
 - seções: limites são as entradas e saídas ou mudanças físicas ...
 - segmentos: consideram as áreas de influência dos elementos viários
 - recomendado que:
 - . primeiro e último segmento sejam básicos ...
 - . primeiro e último períodos sem saturação ...
 - . filas não devem exceder a extensão considerada
 - . extensão menor que o tempo de viagem em 15min.

- estimativa de demanda de tráfego a partir de volumes de tráfego
(para dados com contagens em operação saturada)

$$\hat{Q}_{\text{out}}^{\text{tj}} = f^t \cdot q_{\text{out}}^{\text{tj}}, \text{ onde } f^t = \frac{\sum q_{\text{in}}^{\text{tj}}}{\sum q_{\text{out}}^{\text{tj}}}, \text{ (Q=demand, q=fluxo)}$$

fator de escala (grosseiro), não detalhado, para toda a via;

- estimativa/ajuste das curvas de operação: CAF (capacidade) e SAF (velocidade)

formula algébrica: $\hat{V} = \begin{cases} \hat{V}_{\text{FL}}, \text{ se } \hat{q}_f \leq \hat{q}_{\text{BP}}, \text{ ou se } \hat{q}_f \leq \hat{c}_f \\ \hat{V}_{\text{FL}} - (\hat{V}_{\text{FL}} - \hat{V}_C) \left(\frac{\hat{q}_f - \hat{q}_{\text{BP}}}{\hat{c}_f - \hat{q}_{\text{BP}}} \right)^a \quad (\text{ajustados ou não}) \end{cases}$

em fluxo equivalente, com $\hat{c}_f = \tilde{c}_f \cdot \text{CAF}_{\text{ao}}$, $\tilde{V}_{\text{FL}} = \tilde{V}_{\text{FL}} \cdot \text{SAF}_{\text{ao}}$ e $\hat{V}_C = \frac{\tilde{c}_f}{\tilde{K}_C}$, $a = 2,00$;

$$\hat{q}_{\text{BP}} = (1000 + \gamma_{\text{bM}} \cdot (75 - \hat{F}\hat{F})) \text{CAF}^2 = (1000 + \gamma_{\text{bK}} \cdot (120 - \hat{V}_{\text{FL}})) \text{CAF}^2, \gamma_{\text{bM}} = 40; \gamma_{\text{bK}} = 25;$$

(CAF,SAF: fatores de ajuste de capacidade e velocidade de fluxo livre

em relação aos valores normais estimados ou medidos)

na capacidade: $\tilde{K}_c^f = 45 \text{ pc/mi/fx}$ (28 pc/km/fx) admitido em todos os casos

também perda de 7% no fluxo de saturação (livre dissipação de filas)

densidade de saturação $\tilde{K}_j^f = 190 \text{ pc/mi/ln}$ (120 pc/km/fx).

melhor: fluxo misto com composição de tráfego $\hat{c}_r = \tilde{c}_f \cdot \text{CAF}_{\text{mix}}$, $\hat{V}_{\text{FL}} = \tilde{V}_{\text{FL}} \cdot \text{SAF}_{\text{mix}}$...

condições específicas de clima e incidentes ver Tabelas 11-20,21,23;
de obras na via: ver procedimento usual (detalhado adiante ...)

- restrito pelo segmento anterior: $V_{\text{máx}} = V_f - (V_f - V_{\text{prev}}) e^{-0,0053 \cdot L}$, $L(\text{m})$;

distinto do modelo convencional com aceleração variável para v^* ($t_0 = 0$)

$$a[t] = \gamma \cdot (v^* - v[t]) \Rightarrow v[t] = v^* - (v^* - v_0) e^{-\gamma \cdot t}, x[t] = x_0 + v^* \cdot t - \frac{(v^* - v_0)}{\gamma} \cdot (1 - e^{-\gamma \cdot t})$$

$$\text{modelo implícito: } \frac{dv}{dx} = \gamma \cdot (v^* - v[x]) \Leftrightarrow a[t] = \gamma \cdot v[t] (v^* - v[t]) \dots v^* = V_{\text{FL}} \dots$$

- análise sem saturação: realizada para cada período (normalmente 15 minutos) em segmento do trecho analisado; permite identificar gargalos (de montante para jusante); seguindo os modelos de análise usuais do HCM/6thEd (2016) (procedimento similar ao do HCM/85, HCM/97, HCM/2000 e HCM/2010);

- análise com saturação: realizada se houver gargalos ativos, usando um modelo macroscópico de 1ª ordem (versão simplificada com hipóteses de equilíbrio com reação instantânea e local); são usados passos de intervalo menores, que devem satisfazer a restrição $\Delta t < \frac{L_{\min}}{V_f}$ (adota 15seg para segmentos de até 300ft ou 90m); a curva de operação saturada representada por uma suposição linear (o que equivale a W_s constante) **ver Figura 25-2;** (procedimento essencialmente similar ao do HCM/2000 e HCM/2010) mas pode introduzir a perda de capacidade na dissipação das filas ...

- interação entre faixas de uso geral e faixas de uso especial:
 - . efeito de fricção gerado por altas densidades nas faixas de uso geral para condições de acesso contínuo ou restrição de acesso com 1faixa, com o método descrito na análise de segmentos básicos;
 - . efeito de entrelaçamento cruzado no acesso das faixas de uso especial (APIA-área de influência dos acessos, definida por Lcw-min e Lcw-máx) com o método descrito na análise de entrelaçamentos;
 - . efeito de saturação: adiciona atraso avaliado com modelo de fila vertical ...

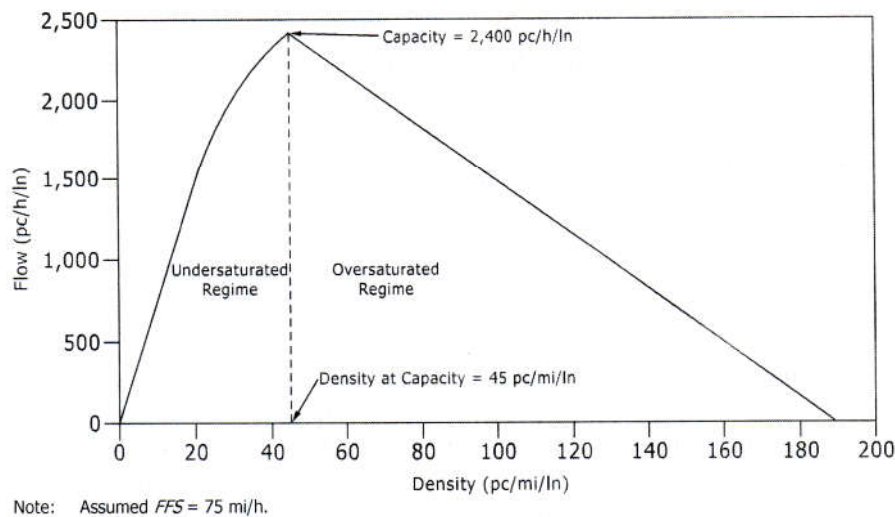
- obtenção das medidas de desempenho: fluxo, velocidade, densidade, filas para cada segmento e período (agregação para valores globais para o trecho analisado).

Segmentos com Faixas de Uso Especial (*Managed Lanes*):

- faixas de uso geral e especial consideradas separadamente ...
- interação: fluxos que mudam entre faixas de uso geral e especial (e seu efeito na capacidade e curva de operação da via)
interação com saturação é maior (demanda retida em filas ...) simplificação atual: avalia fila vertical (demanda não atendida) e atraso ...
atraso total: $D_T^{GP} = \tilde{n}_T^{GP} \cdot T$ e $D_T^{ML} = \tilde{n}_T^{ML} \cdot T$, no período $T = 15 \text{ min}(0,25\text{h})$...

- simplificação da curva de operação saturada ($q \times K$, linear):

FIGURA 25-2. Curva Fluxo-Densidade Básica dos Segmentos – HCM/6thEd (2016)



$$\text{fluxo normal } q = S[K]$$

$$\text{fluxo forçado } q = R[K]$$

$$\text{fluxo forçado } qF :$$

(aproximação linear)

$$K = KC + \frac{SC - qF}{SC} (KJ - KC)$$

$$\therefore K = KJ - \frac{qF}{SC} (KJ - KC)$$

propagação do
congestionamento

$$\text{velocidade: } W_s = \frac{SC}{KJ - KC}$$

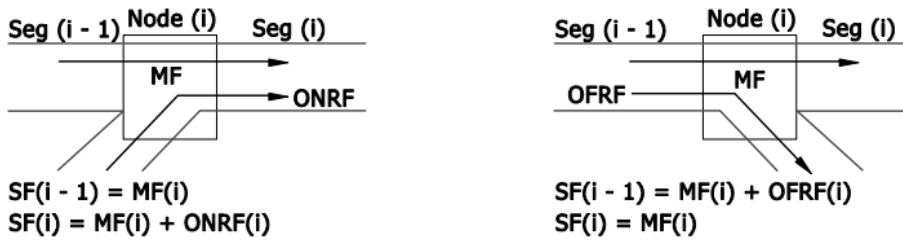
(constante em fluxo forçado)

$$\text{percurso: } t_w = \frac{L}{W_s}$$

- ênfase na calibração: rodada básica sem ajustes, para um dado cenário
- 3 etapas: . calibrar FFS, com medições de campo ou observação;
- capacidade dos gargalos (e dissipação de filas);
- nível de demanda geral ... nessa ordem ...
- validar com comparação dos tempos de viagem e extensão de filas ...
- (eventualmente calibrar também análise de confiabilidade)
- complementar: . calibrar distribuição dos tempos de viagem e etc ...
- (variação da demanda até percentil 50 a 60; depois
- probabilidade de incidentes e eventos climáticos ...)

Simulação Numérica: solução para frente, segmento i , período p (Newell, 1993). melhor transformar fluxos de tráfego em volumes de tráfego (número efetivo de veículos)

- inicialização: demanda esperada (usa fluxo) por segmento, na ordem de fluxo
 $ED[i, p] = \min\{SC[i, p], ED[i-1, p] + OND[i, p] - OFD[i, p]\}$ em número de veículos
melhor $ED[i, p] = EF[i-1, p] + OND[i, p] - OFD[i, p]$ com $EF[i, p] = \min\{SC[i, p], ED[i, p]\}$
identificação dos períodos com saturação: gargalo se $ED[i, p] > SC[i, p]$...
- para cada período anterior ao início ou posterior ao término da saturação:
análise não saturada: demanda no período $SF[i, p] = SD[i, p]$,
modelo/curva do segmento $SF[i, p] \Rightarrow U[i, p] \dots V_{max} \dots KB[i, p]$ (densidade).
- para cada período com efeitos da saturação: $t=1$ a S passos, revisão para trás
passo t , “prefixo” nó: M=direto, ON=acesso, OF=egresso (S=segmento)
(além das mudanças de segmento, os acessos e egressos são nós)
“sufixo”: D=demandra, C=capacidade, F=fluxo, Q=fila, V=veículos.



- fluxos no nó i : direto $MF[i, t, p]$, acesso $ONF[i, t, p]$, egresso $OFF[i, t, p]$
variáveis adicionais dos nós: déficit de atendimento, fila nos acessos
entre períodos $t=0$: $ONQ[i, 0, p] = ONQ[i, S, p-1]$, $Mon[i, 0, p] = Mon[i, S, p-1]$
(inicializadas como zero no primeiro período com saturação)
- segmento i (do nó i a $i+1$): extensão $L[i]$, faixas $N[i, p]$, capacidade $SC[i, p]$ ($SC = CS$),
fluxo segmento i (nó i , $i+1$): $SF[i, t, p] = MF[i+1, t, p] + OFF[i+1, t, p]$
nos nós: $F = \min\{I, O\}$, {demanda manifesta, capacidade disponível}
fora das filas: $SF[i, p] = ED[i, p]$, densidade $KB[i, p]$ (background).
variáveis adicionais dos segmentos: NV =veículos na via, UV =não servidos
entre períodos $t=0$: $NV[i, 0, p] = UV[i, S, p-1]$, $UV[i, 0, p] = UV[i, S, p-1]$
e $DEF[i, 0, p] = \max\{0, \sum_{k=1}^{p-1} SD[i, k] - \sum_{k=1}^{p-1} \sum_{t=1}^S SF[i-1, t, k]\}$
(inicializadas como zero no primeiro período com saturação)
 $t=1$: $NV[i, 1, p] = L[i] * KB[i, p] + UV[i, S, p-1]$
(capacidade saturada $CS = (1 - \alpha)C$; $\alpha \approx 7\%$ na ausência de dados locais!).

onde $Mon[i, t, p] = MF[i-1, t, p] + ONF[i, t, p]$, $SCr[i, t, p] = SC[i, p] - ONF[i-1, t, p]$ (residual)
 $Mof[i, t, p] = MF[i, t, p] + OFF[i+1, t, p]$, $SCd[i, t, p] = SCr[i, t, p] + OFF[i, t, p]$ (disponível)

Simulação durante a saturação: para trás $SF[i-1, t, p] = MF[i, t, p] + OFF[i, t, p]$

- fluxo direto: $MF[i, t, p] = \min\{MI[i, t, p], SC[i-1, p], MO[i, t, p], SC[i, p]\}$

$MI[i, t, p] = MF[i-1, t, p] + ONF[i-1, t, p] - OFF[i, t, p] + UV[i-1, t-1, p]$ (com não servidos),

$MO[i, t, p] = \min\{MO1[i, t, p], MO2[i, t, p], MO3[i, t, p]\}$ (condições: acesso, espaço, adiante),

acesso: $MO1[i, t, p] = \min\{SC[i, p] - ONF[i, t, p], MO2[i, \tilde{t}, p], MO3[i, \tilde{t}, p]\}, \tilde{t} = t-1,$

espaço: $MO2[i, t, p] = SF[i, \tilde{t}, p] - ONF[i, t, p] + KQ[i, t, p]L[i] - NV[i, t-1, p], \tilde{t} = t-1,$

veículos na via: $NV[i, t, p] = NV[i, t-1, p] + SF[i-1, t, p] - Mof[i+1, t, p],$

$$\text{densidade de veículos em fila } KQ[i, t, p] = KJ - (KJ - KC) \cdot \frac{SF[i, t-1, p]}{SC[i, p]}$$

veículos não servidos: $UV[i, t, p] = NV[i, t, p] - KB[i, p]L[i]$ (saturação: $UV \geq 1$)

adiante: se há gargalo dissipando adiante, período com $SC[i, p] - OND[i, p] > SD[i, p]$

e $(SC[i, p] - OND[i, p]) > (SC[i, p-1] - OND[i, p-1]),$ então também

$MO3[i, t, p] = \min\{MO1[i+1, t-w, p], MOq[i+1, t-w, p], MOc[i+1, t-w, p]\} - OFF[i, t, p]$

tempo de recuperação $w = \frac{L[i]}{W_s}$, em passos, com $W_s = \frac{SC[i, p]}{KJ - KC}$

onde $MOq[i+1, t-w, p] = \min\{Mf2[i+1, t-w, p], Mf3[i+1, t-w, p]\},$

com $Mf2[i+1, t-w, p] = MO2[i+1, t-w, p] + OFF[i+1, t-w, p],$

$Mf3[i+1, t-w, p] = MO3[i+1, t-w, p] + OFF[i+1, t-w, p],$

e $MOc[i+1, t-w, p] = \min\{SC[i, t-w, p], SCd[i+1, t-w, p]\};$

- fluxo acesso: $ONF[i, t, p] = \min\{ONI[i, t, p], ONO[i, t, p]\}$

$ONI[i, t, p] = OND[i, p] + ONQ[i, t-1, p]$ (com fila retida no ramal de acesso),

$ONO[i, t, p] = \min\{ONC[i, p], ONM[i, t, p]\}$ (capacidade, incorporação),

capacidade: $ONC[i, p]$, regulação: $ONC[i, p] = \min\{ONC[i, p], RM[i, p]\}$

incorporação: $ONM[i, t, p] = \max\left\{MOo[i, t, p] - MI[i, t, p], \frac{MOo[i, t, p] / N[i, p]}{2}\right\}$

onde $MOo[i, t, p] = \min\{SC[i, p], Mo2[i, \tilde{t}, p], Mo3[i, \tilde{t}, p]\}, \tilde{t} = t-1,$

com $Mo2[i, t-1, p] = MO2[i, t-1, p] + ONF[i, t-1, p] (?)$

$Mo3[i, t-1, p] = MO3[i, t-1, p] + ONF[i, t-1, p]$

fila no acesso: $ONQ[i, t, p] = ONQ[i, t-1, p] + OND[i, p] - ONF[i, t, p];$

- fluxo egresso: $OFF[i, t, p] = OFI[i, t, p]$, $pof[i, p] = OFD[i, p] / SD[i-1, p]$ da demanda em p

déficit acumulado (anterior a p): $DEF[i, t, p] = \max\{0, DEF[i, t-1, p] - Mon[i-1, t, p]\}$

$(DEF[i, 0, 1] = 0; \text{ para } p > 1: DEF[i, 0, p] = \max\{0, \sum_{k=1}^{p-1} SD[i, k] - \sum_{k=1}^{p-1} \sum_{t=1}^S SF[i-1, t, k]\})$

$OFF[i, t, p] = DEF[i, t-1, p] * pof[i, p-1] + (Mon[i-1, t, p] - DEF[i, t-1, p]) * pof[i, p]$

(se $Mon[i-1, t, p] < DEF[i, t-1, p]$ então $OFF[i, t, p] = Mon[i-1, t, p] * pOF[i, p-1]$)

Resultados para os segmentos: densidade e velocidade média

$$\text{segmento / período: } SF[i, p] = \frac{\sum_t SF[i, t, p]}{T_p}, \quad NV[i, p] = \frac{\sum_t NV[i, t, p]}{S}$$

$$\text{densidade } K[i, p] = \frac{NV[i, p]}{L[i]}, \quad \text{velocidade } U[i, p] = \frac{SF[i, p]}{K[i, p]}$$

$$\text{segmento: } SF[i] = \frac{\sum_{t,p} SF[i, t, p]}{N.T_p}, \quad NV[i] = \frac{\sum_{t,p} NV[i, t, p]}{N.S}$$

$$\text{densidade } K[i] = \frac{NV[i]}{L[i]}, \quad \text{velocidade } U[i] = \frac{SF[i]}{K[i]}$$

Resultados para o sistema expresso: densidade e velocidade agregadas

$$\text{por período: } MK[p] = \frac{\sum_i K[i, p] L[i]}{\sum_i N[i, p] L[i]} \text{ por faixa, } MS[p] = \frac{\sum_i SF[i, p] L[i]}{\sum_i SF[i, p] L[i] / U[i, p]}$$

$$\text{globais: } SMK = \frac{\sum_{i,p} K[i, p] L[i]}{\sum_{i,p} N[i, p] L[i]} \text{ por faixa, } SMS = \frac{\sum_{i,p} SF[i, p] L[i]}{\sum_{i,p} SF[i, p] L[i] / U[i, p]}$$

TABELA 10-6. Nível de Serviço para Sistemas Expressos - HCM/6tEd (2016)

NÍVEL DE SERVIÇO	DENSIDADE DE TRÁFEGO (média ponderada por faixa e extensão)	
	Urbana	Rural
A	$\leq 11 \text{ vea/mi/fx}$ (6.875 vea/km.fx)	$\leq 6 \text{ vea/mi/fx}$ (3.75 vea/km.fx)
B	$>11 \text{ a } 18 \text{ vea/mi/fx}$ ($6.875 \text{ a } 11.25 \text{ vea/km.fx}$)	$>6 \text{ a } 14 \text{ vea/mi/fx}$ ($3.75 \text{ a } 8.75 \text{ vea/km.fx}$)
C	$>18 \text{ a } 26 \text{ vea/mi/fx}$ ($11.25 \text{ a } 16.25 \text{ vea/km.fx}$)	$>14 \text{ a } 22 \text{ vea/mi/fx}$ ($8.75 \text{ a } 13.75 \text{ vea/km.fx}$)
D	$>26 \text{ a } 35 \text{ vea/mi/fx}$ ($16.25 \text{ a } 21.875 \text{ vea/km.fx}$)	$>22 \text{ a } 29 \text{ vea/mi/fx}$ ($13.75 \text{ a } 18.125 \text{ vea/km.fx}$)
E	$>35 \text{ a } 45 \text{ vea/mi/fx}$ ($21.875 \text{ a } 28.125 \text{ vea/km.fx}$)	$>29 \text{ a } 39 \text{ vea/mi/fx}$ ($18.125 \text{ a } 24.375 \text{ vea/km.fx}$)
F	Demandas > Capacidade*, >45 vea/mi/fx (28.125 vea/km.fx)	Demandas > Capacidade*, >39 vea/mi/fx (24.375 vea/km.fx)

(*) Demanda > Capacidade em qualquer dos componentes do sistema (qualquer sub-período).

. efeito de obras na pista: função da configuração viária e de obra:

$$\tilde{c}_{fwz} = \frac{\tilde{q}_{fDwz}}{1 - \alpha_{wz}}, \quad \alpha_{wz} \approx 13,4\% \text{ em obras (perda de capacidade com fila); e } CAF_{wz} = \frac{\tilde{c}_{fwz}}{\tilde{c}_f}$$

com $\tilde{q}_{fDwz} = 2093 - 154.LCSI - 194.f_{Br} - 179.f_{AT} + 30.d_{LAT} - 59.f_{DN}$
(fluxo de tráfego em condição livre de dissipação de fila, *Free Queue Discharging*)

$$\tilde{V}_{FLwz} = \tilde{\Delta}_{0Vwz} + 53,4.f_{Sr} + 0,53.VL_{wz} - 8,96.LCSI - 6,14.f_{Br} - 2,7.f_{DN} - \tilde{\Delta}_{DRwz} \text{ e } SAF_{wz} = \frac{\tilde{V}_{FLwz}}{\tilde{V}_{FL}}$$

onde LCSI é o índice de severidade da redução de faixas (**ver Tabela 10-15**)

f_{Br} é o indicador de tipo de barreira (0=concreto, rígido; 1=cone, tambor, etc)

f_{AT} é o indicador de tipo de área (0=urbana; 1=rural)

d_{LAT} (m) é a distância lateral das obras às barreiras, até 1,80m (f_{LAT} : 0-12ft)

f_{DN} é o indicador de período do dia (0=diurno; 1=noturno)

VL_{wz} : limite de velocidade com obras em km/h (SL_{wz} em mi/h)

f_{Sr} : razão do limite de velocidade sem/com obras ($f_{Sr} = VL / VL_{wz} = SL / SL_{wz}$)

com $\tilde{\Delta}_{0Vwz} = 15,9$ km/h (ou $\tilde{\Delta}_{0Vwz} = 9,95$ mi/h, constante da velocidade com obras)

$\tilde{\Delta}_{DRwz} = 13,9.DRK$ km/h (ou $\tilde{\Delta}_{DRwz} = 8,7.TRD$ mi/h, f_{RDwz}) onde

DRK : densidade de ramais/km (TDR densidade de ramais/mi)

em 9,6km (6mi), 4,8km (3mi) em cada lado do ponto médio do trecho

reduções maiores que as previstas com o procedimento atual ocorrem em

- trechos com desobstrução lateral mínima (que limitam a condução dos veículos) ...

- trechos com significativa presença de veículos pesados em aclives acentuados ... (especialmente quando o trecho reduz-se a uma faixa, com seguimento forçado)\

ajustes adicionais para trechos não básicos (**ver Figuras 25-7,8,10,11,12,13,14**)

TABELA 10-15. Índice de Severidade do Bloqueio de Faixas em Obras na Via – HCM/6thEd (2016)

No.Faixas Total Por Sentido	No.Faixas Abertas Por Sentido	OR (Proporção de Faixas Aberta)	LCSI (Índice de Severidade do Bloqueio de Faixas)
3	3	1,00	0,33
2	2	1,00	0,50
4	3	0,75	0,44
3	2	0,67	0,75
4	2	0,50	1,00
2	1	0,50	2,00
3	1	0,33	3,00
4	1	0,25	4,00

* LCSI=Lane Closure Severity Index (LCSI=1/(OR.NA=NT/NA²); OR=Open Ratio (OR=NA/NT)

⇒ **Análise de Regularidade do Tempo de Viagem:** análise complementar
 (anteriormente introduzida como adendo ao HCM/2010, em 2015 ...)

análise operacional feita com um método de força bruta: enumera e avalia cenários construídos com base nos dados obtidos sobre incidência de eventos climáticos e operacionais e suas características para uma definição do período de referência para análise da distribuição dos tempos de viagem previstos (e outras variáveis ...)

- ⇒ procedimento gera diversos cenários de interesse e avalia aplicando a metodologia, de sistemas expressos (Ch.10) para cada cenário operacional (método de força bruta) (inclui dados sobre efeitos de incidentes e bloqueio de faixas em vias expressas)
- ⇒ obtém distribuição de tempos de viagens avaliando resultados de cenários com:
 - variações recorrentes de demanda (hora do dia, dia da semana, mês do ano) ...
 - clima severo (chuva pesada, neve, ...) e incidentes (acidentes, paradas, ...)
 - obras na via e eventos especiais (incluindo medidas mitigadoras ...)
- ⇒ medidas de confiabilidade do tempo de viagem:
 - **Índice de tempo de viagem** (TTI-Travel Time Index): razão entre o tempo (médio) de viagem (numa via ou trecho) e o tempo de viagem básico (de fluxo livre);
 - **Índice planejado de tempo de viagem** (PTI-Planning Time Index): razão entre o percentil 95 do tempo de viagem e o tempo de viagem básico (do tipo de via);
 - (índice de política: substituir tempo de viagem básico por meta de tempo de viagem)

Índices de confiabilidade subjacentes à distribuição dos tempos de viagem:

 - **medidas de variabilidade** (variância e percentis 50, 85 ou 95 do tempo de viagem)
 - **medidas de confiabilidade** (porcentagem de falha/sucesso do tempo de viagem)
 - (nota de confiabilidade: % das viagens com tempo de viagem abaixo de um limite).
- ⇒ muitos dados dificilmente transferíveis entre regiões (exigem dados locais)
 - fatores de variação da demanda (mês do ano, dia da semana, hora do dia);
 - incidência de eventos climáticos e de incidentes (incluindo composição e duração)
 - eventualmente também o impacto na via (pelo menos exige validação em campo)
- ⇒ método alternativo: análise de cenários contingenciais, considerados prováveis ...
 - (ênfase: definir planos contingenciais ao invés de obter estatísticas de desempenho)

componente básico para avaliar a ações de GATD-gestão ativa do tráfego e demanda (ATDM-Active Traffic and Demand Management) ...

⇒ Procedimentos:

- consiste em gerar inúmeros cenários de oferta e demanda (e sua probabilidade) para obter a distribuição dos tempos de viagem previstos (e confiabilidade)... (pode também variar a geometria e o controle de tráfego em cada cenário)

Cenários de análise para avaliação da regularidade/confiabilidade:

Período de Estudo T (usual: 1 a 6hs) dividido em período de análise (usual: 15min)

Período de Referência: período do ano, tipos de dia e períodos do dia considerados

Dados básicos: condições de demanda e oferta usuais (médio ou global; ex.: VDMA)

Fatores de Ajuste ou Variação: por mês, dia da semana, hora do dia, etc ...

Fatores de Ajuste ou Impacto de clima e incidentes: por tipo, intensidade, etc ...

Dados alternativos: condições especiais (períodos de obra, eventos, etc ...)

Replicações: em princípio 4 para cada cenário de demanda (**ver Tabela 11-9**).

Ajuste da Demanda: $Q_{spa} = f_m \cdot f_d \cdot f_t \cdot Q_{sp}$ com $Q_{sp} = K_{sp} \cdot D \cdot VDMA$ (ou $Q_{spa} = DAF \cdot Q_{sp}$)

fatores de variação do mês do ano f_m , dia da semana f_d , da hora do dia f_t
(dados do HCM/6thEd dificilmente são aplicáveis ao Brasil; obter dados locais)
ignora efeito do clima e outros na demanda ...

. com dados detalhados de demanda: $Q_{pk}^j = Q_{pk}^{sj} \cdot \frac{f_p}{f_p^s}$ (s refere-se ao dado base)

. sem dados detalhados de demanda: $Q_{pk}^{p15\text{min}} = f_p \cdot 4 \cdot K_{p15\text{min}} \cdot D \cdot \frac{AADT_k}{24}$ (segmento k)
($f_p = f_m \cdot f_d \cdot f_t$ ou DAF e $K_{p15\text{min}}$ para volume de tráfego do pico de 15min)

Ajuste da Oferta: alguns fatores de ajustamento básicos (*default*) para replicações ...

$$\hat{V} = \begin{cases} \hat{V}_{FL}, \text{ se } \hat{q}_f \leq \hat{q}_{BP}, \text{ ou se } \hat{q}_f \leq \hat{c}_f \\ \hat{V}_{FL} - (\hat{V}_{FL} - \hat{V}_C) \left(\frac{\hat{q}_f - \hat{q}_{BP}}{\hat{c}_f - \hat{q}_{BP}} \right)^a, \quad V_{Fa} = SAF \cdot V_F, \quad \tilde{c}_{fa} = CAF \cdot \tilde{c}_f, \quad \tilde{V}_c = \frac{\tilde{c}_{fa}}{\tilde{K}_{cf}}, \end{cases}$$

onde $\hat{q}_{BP} = (1000 + \gamma_M \cdot (75 - FFS)) CAF^2 = (1000 + \gamma_K \cdot (120 - \hat{V}_{FL})) CAF^2$, $a = 2,00$ (via expressas)

com $\gamma_M = 40(v/h)/(mi/h)$ ou $\gamma_K = 25(v/h)/(km/h)$, $\tilde{K}_{cf} = 45pc/mi/\ln = 28veq/km/fx$

(fluxo normal; fluxo forçado: perda de capacidade com filas: ~7% ... ~ linear ...) clima: CAF e SAF para 11 tipos de eventos; adotado em todo trecho ...

dados históricos de incidência de eventos (institutos meteorológicos)

incidentes: CAF para 6 níveis de severidade; início, meio ou fim do trecho ...

ocorrência: dado local; em T ou no trecho: igual probabilidade ...

dados de incidentes, pelo menos acidentes (IC/AC~4,9 e índice AC dado)

obras/eventos: dados do analista (somente significativos); muito variáveis ...

obra de longa duração é caso base distinto (com análise de regularidade)

obras não programadas ou muito curtas são tratadas como incidentes ...

(**ver Tabelas 36-26, 36-16, 10-17, 36-24, 36-25, 10-14, 11-22**)

- geração de cenários em vias expressas: períodos de estudo com duração T_{sp}

$$\text{cenário de demanda } c=pwi: \text{probabilidade } p_c = \frac{n_{c,sp}}{\sum_{pwi} n_r^{pwi} \cdot n_{pwi,sp}} \quad (n_r^{pwi}: \text{replicações})$$

cenários operacionais: $c=pwi, o=tle$ ($t=\text{início}$ $l=\text{posição}$ $e=\text{duração}$), de 15min adiciona eventos de clima, incidente (também obras, e eventos especiais) em cada replicação de cada cenário de demanda, com base na probabilidade temporal (por minuto) de ocorrência p_{spwi} (e características)

composição: $p_{spwi} = p_{sp} \cdot p_{wsp} \cdot p_{i/wsp}$ (evento de clima w, incidente i/minuto de sp)

. cenários $c=pwi$: duração T_{sp}^c períodos de 15min, T_{wsp}^c c/clima w e T_{iwpw}^c c/incidente i

$$\text{tendo-se } p_{wsp}^c = \frac{T_{wsp}^c}{T_{sp}^c}, \quad p_{iwpw}^c = \frac{T_{iwpw}^c}{T_{wsp}^c} \text{ por evento (atualmente } c=m \text{ e } p_{spwi} = p_{spi} = \frac{T_{isp}}{T_{sp}} \text{)}$$

$$(\text{duração: ver Tabela 11-22; } n_{wsp}^c = \frac{p_{wsp}^c \cdot T_{sp}^c \cdot N_{sp}^c}{E_{15\text{ min}} [D_{wsp}^c]} \text{ períodos de 15min nos casos c})$$

. grande simplificação (e redução de casos) em relação ao procedimento do HCM/2010: não é necessário enumerar cenários aleatórios, incluindo início, posição, etc...

não é necessário obter peso π_c ($\pi_c = p_c$ em sp para ponderar cada caso $c=pwi$)

utiliza o mesmo procedimento para aleatorizar demais características:

. início do evento climático: $p_{início}$ uniforme em sp (em todo trecho de via)

. duração do incidente: qualquer distribuição (pode ser condicional ao clima)

. início do incidente: $p_{início}$ proporcional ao VKM na via do período em sp

. posição do incidente: p_{seg} proporcional ao VKM em sp do segmento na via

(procedimento ajusta para ter valores inteiros e elimina eventos sobre-postos) ...

TABELA 11-9. No.Recomendado de Replicações para Geração de Cenários – HCM/6thEd (2016)

Duração do Período de Referência (em meses)	No.de Dias Considerado	No.de Replicações Recomendado	No.de Cenários Resultante
1	5 (dias úteis)	48	240
2	5 (dias úteis)	24	240
4	5 (dias úteis)	12	240
6	5 (dias úteis)	8	240
9	5 (dias úteis)	6	270
12 ^a	5 (dias úteis)	4 ^a	240 ^a
12	2 (fim de semana)	10	240
12	7 (toda semana) ^b	3	252

Notas: ^a valor básico (*default*); ^b não desejável (preferível separar dias úteis e fim de semana)

Engenharia de Tráfego

Determinação dos Eventos Aleatórios de Clima (início, duração) e Incidentes (início, tipo, duração, posição) no Período de Estudo
 (Exemplo de Período de Estudo de 3 horas em Via de 10 segmentos, com Chuva, R, e 2 Incidentes, I-2: principal e I-S: secundário)

Analysis Period	Segment Number									
	1	2	3	4	5	6	7	8	9	10
1										
2										
3	R	R	R	R	R	R	R	R	R	R
4	R	R	R	R	R	R	R	R	R	R
5	R	R	R	R	R	R	R	R and I-2	R	R
6								I-2		
7								I-2		
8								I-2		
9										
10										
11			I-S							
12										

Cenário de Demanda: Mês do ano, Dia da semana e Hora do dia; mais 1 evento climático e 2 incidentes => Cenário Operacional ...

Evento Climático: Chuva, com início gerado no período 3 e duração de 45min (admitido em todo o trecho da via)

Incidente Principal: bloqueio de 2 faixas, no segmento 8 (posição), com início no período 5 e duração de 60min

Incidente Secundário: bloqueio do acostamento, no segmento 3 (posição), com início e término no período 11 ...
 (procedimento do HCM/2010 gerava casos definidos de início (2) de clima e de início (2), posição (3), duração (3) de incidentes).

. efeito de clima (CAF,SAF: **Tabela 11-20,21**) e incidentes (CAF: **Tabela 11-23**)
novos dados: Zegeer et al. (2014)- SHRP 2-S2-L08-RW1 (TRB, USA) ...

TABELA 11-20. Ajustes de Capacidade Genéricos para Condições de Clima – HCM/6thEd (2016)

Condição de Clima	Definição do Evento Climático	Fator de Ajuste de Capacidade (CAF)				
		V _{FL} =55 mi/h	V _{FL} =60 mi/h	V _{FL} =65 mi/h	V _{FL} =70 mi/h	V _{FL} =75 mi/h
Chuva Média	>0.10-0.25in/h (>2.5-6mm/h)	0.94	0.93	0.92	0.91	0.90
Chuva Pesada	>0.25in/h (>6mm/h)	0.89	0.88	0.86	0.84	0.82
Neve Leve	>0.00-0.05in/h (>0-1.25mm/h)	0.97	0.96	0.96	0.95	0.95
Neve Leve a Média	>0,05-0,10in/h (>1,25-2,5mm/h)	0,95	0,94	0,92	0,90	0,88
Neve Média a Pesada	>0,10-0,50in/h (>2,5-12,5mm/h)	0,93	0,91	0,90	0,88	0,87
Neve Pesada	>0,5in/h (>12,5mm/h)	0,80	0,78	0,76	0,74	0,72
Frio Severo	< -4°F (< -20°C)	0,93	0,92	0,92	0,91	0,90
Baixa Visibilidade	0.50-0.99mi (0.8-<1.6km)	0.90	0.90	0.90	0.90	0.90
Muito Baixa Visibilidade	0,25-0,49m (0,4-<0,8km)i	0,88	0,88	0,88	0,88	0,88
Mínima Visibilidade	<0,25mi (<0,4km)	0,90	0,90	0,90	0,90	0,90
Clima Não Severo	todas as demais condições	1.00	1.00	1.00	1.00	1.00

Fonte: Zegeer et al. (2014)- SHRP 2-S2-L08-RW1 (TRB, USA)

TABELA 11-21. Ajustes de Velocidade Genéricos para Condições de Clima – HCM/6thEd (2016)

Condição de Clima	Definição do Evento Climático	Fator de Ajuste de Velocidade (SAF)				
		V _{FL} =55 mi/h	V _{FL} =60 mi/h	V _{FL} =65 mi/h	V _{FL} =70 mi/h	V _{FL} =75 mi/h
Chuva Média	>0.10-0.25in/h (>2.5-6mm/h)	0.96	0.95	0.94	0.93	0.93
Chuva Pesada	>0.25in/h (>6mm/h)	0.94	0.93	0.93	0.92	0.91
Neve Leve	>0.00-0.05in/h (>0-1.25mm/h)	0.94	0.92	0.89	0.87	0.84
Neve Leve a Média	>0,05-0,10in/h (>1,25-2,5mm/h)	0,92	0,90	0,88	0,86	0,83
Neve Média a Pesada	>0,10-0,50in/h (>2,5-12,5mm/h)	0,90	0,88	0,86	0,84	0,82
Neve Pesada	>0,5in/h (>12,5mm/h)	0,88	0,86	0,85	0,83	0,81
Frio Severo	< -4°F (< -20°C)	0,95	0,95	0,94	0,93	0,92
Baixa Visibilidade	0.50-0.99mi (0.8-<1.6km)	0.96	0.95	0.94	0.94	0.93
Muito Baixa Visibilidade	0,25-0,49m (0,4-<0,8km)i	0,95	0,94	0,93	0,92	0,91
Mínima Visibilidade	<0,25mi (<0,4km)	0,95	0,94	0,93	0,92	0,91
Clima Não Severo	todas as demais condições	1.00	1.00	1.00	1.00	1.00

Fonte: Zegeer et al. (2014)- SHRP 2-S2-L08-RW1 (TRB, USA)

TABELA 11-22. Dados de Severidade e Duração de Incidentes – HCM/6thEd (2016)

Parâmetro	Acostamento Bloqueado	1 Faixa Bloqueada	2 Faixas Bloqueadas	3 Faixas Bloqueadas	4 Faixas Bloqueadas
Distribuição (%)	75,4	19,6	3,1	1,9	0
Duração média (min)	34	34,6	53,6	67,9	67,9
Desvio padrão (min)	15,1	13,8	13,9	21,9	21,9
Mediana (min)*	36,5*	32,6*	60,1*	69,6*	69,6*
Duração mínima (min)	8,7	16	30,5	36	36
Duração máxima (min)	58	58,2	66,9	93,3	93,3

Fonte: Zegeer et al. (2014)- SHRP 2-S2-L08-RW1 (TRB, USA); * da Tabela 25-41 (com correção).

TABELA 11-23. Ajustes de Capacidade Genéricos para Incidentes – HCM/6thEd (2016)

No.Faixas Por Sentido	Sem Incidente	Acostamento Bloqueado	1 Faixa Bloqueada	2 Faixas Bloqueadas	3 Faixas Bloqueadas	4 Faixas Bloqueadas
2	1,00	0,81	0,70	-	-	-
3	1,00	0,83	0,74	0,51	-	-
4	1,00	0,85	0,77	0,50	0,52	-
5	1,00	0,87	0,81	0,67	0,50	0,50
6	1,00	0,89	0,85	0,75	0,52	0,52
7	1,00	0,91	0,88	0,80	0,63	0,63
8	1,00	0,93	0,89	0,84	0,66	0,66

Fonte: Zegeer et al. (2014)- SHRP 2-S2-L08-RW1 (TRB, USA)

Comentários sobre o Procedimento do U.S.HCM/6thEd (2016)

- ⇒ os procedimentos são essencialmente os mesmos do HCM/2010 (e HCM/2000) com novos dados de campo e análise de confiabilidade do tempo de viagem (além de considerar as faixas de uso geral e especial, com sua interação)
- ⇒ procedimentos implementados no FREEVAL (aplicativo no MS-EXCEL);
- ⇒ os procedimentos podem permitir a análise consistente de segmentos expressos;
- ⇒ combinam a análise dos segmentos individuais com uma análise integrada inicial:
 - . determinam nível de serviço e variáveis de operação (reais, autos);
 - . recomendações para análise dinâmica simplificada ou uso de modelos;
 - . ainda avaliam as condições de operação básicas (reais);
 - . usa uma formulação macroscópica (eq.continuidade e eq.fundamental);
 - . não incorporam fatores importantes (como as brechas e velocidades);
 - . permitem representar formação e dissipação de filas (sobre-demanda) ;
 - . inclui a representação dos efeitos de gargalos (estruturais ou incidentais);
 - . formulação simplificada usa relações de equilíbrio velocidade-fluxo;
 - . formulação simplificada pode considerar fenômeno das duas capacidades; (embora curvas de volumeXdensidade mais simples sejam inicialmente utilizadas).
- ⇒ os procedimentos não analisam a transição da operação entre segmentos; (com exceção do limite de velocidade máxima dada a velocidade anterior);
- ⇒ os procedimentos não tratam a aleatoriedade (efeito nas equações apenas); análise de confiabilidade do tempo de viagem usa método de força bruta (usa dados de campo para enumerar cenários que são avaliados um a um)
- ⇒ são fornecidas informações básicas sobre efeitos dos gargalos.